

УДК 517.956.8:517.956.328:539.3(4)

АСИМПТОТИКА РЕШЕНИЙ СПЕКТРАЛЬНОЙ ЗАДАЧИ ТЕОРИИ УПРУГОСТИ ДЛЯ ТРЕХМЕРНОГО ТЕЛА С ТОНКОЙ СТЯЖКОЙ

С. А. Назаров

Аннотация. Построена асимптотика собственных чисел и вектор-функций задачи теории упругости для анизотропного тела, к поверхности которого присоединена тонкая (диаметром h) стяжка-стержень. В спектре выделены две серии собственных чисел с устойчивыми асимптотиками. Первая серия образована собственными числами $O(h^2)$, отвечающими поперечным колебаниям стержня с жестко зацементированными торцами, а вторая порождена продольными колебаниями и закручиванием стержня, а также собственными колебаниями тела без стяжки. Проверена теорема о сходимости для первой серии и получены оценки погрешностей для обеих серий.

Ключевые слова: сочленение массивного стержня с тонким стержнем, спектр упругого тела, асимптотика собственных чисел.

§ 1. Постановка задачи и описание результатов

1.1. Упругое тело с тонкой стяжкой. Пусть Ω — область в евклидовом пространстве \mathbb{R}^3 с гладкой (для простоты) границей $\partial\Omega$ и компактным замыканием $\bar{\Omega} = \Omega \cup \partial\Omega$. Пусть еще Υ — отрезок прямой, соединяющий две точки $P^\pm \subset \partial\Omega$, лежащий вне Ω и подходящий к поверхности $\partial\Omega$ под ненулевыми углами (рис. 1(a)). Введем систему декартовых координат $x = (y, z)$, поместив ее начало \mathcal{O} в середину отрезка и направив ось z вдоль упомянутой прямой. После масштабирования можно считать, что $\Upsilon = \{x : y = 0 \in \mathbb{R}^2, |z| < 1\}$.

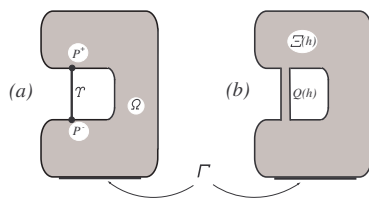


Рис. 1. Сочленение тела со стержнем (b) и изображающая его гибридная область (a).

Обозначим через ω область на плоскости \mathbb{R}^2 с гладкой границей и компактным замыканием и введем тонкий цилиндрический стержень

$$Q_h = \{x : \eta := h^{-1}y \in \omega, |z| < l := 1\}. \quad (1.1)$$

Соответственно тело с тонкой стяжкой (см. рис. 1(b)) определено равенством $\Xi(h) = \Omega \cup Q'_h$, где Q'_h — удлиненный стержень: в формуле (1.1) полудлина стержня l увеличена до $l' > 1$. Сама упругая стяжка занимает объем $Q(h) = Q'_h \setminus \bar{\Omega}$ и, вообще говоря, отличается от множества (1.1). Сечения стержня обозначаем через $\omega_h(z^0) = \{x \in Q'_h : z = z^0\}$, а числа l' и $h_0 \in (0, 1]$ зафиксируем так, чтобы

Работа выполнена при финансовой поддержке Российского фонда фундаментальных исследований (код проекта 12-01-00348).

при $h \in (0, h_0]$ торцы $\overline{\omega_h(\pm l')}$ принадлежали телу Ω . Не ограничивая общности, считаем, что начало координат $\eta \in \mathbb{R}^2$ совмещено с центром тяжести фигуры ω .

1.2. Задача теории упругости. Столбец $u(x) = (u_1(x), u_2(x), u_3(x))^T$, где \top — знак транспонирования, представляет собой вектор смещений точки $x \in \Xi(h)$ при деформации тела со стяжкой. Столбец деформаций

$$\varepsilon(u) = (\varepsilon_{11}(u), \varepsilon_{22}(u), 2^{1/2}\varepsilon_{12}(u), 2^{1/2}\varepsilon_{23}(u), 2^{1/2}\varepsilon_{31}(u), \varepsilon_{33}(u))^T \quad (1.2)$$

можно вычислить по формуле $\varepsilon(u; x) = \mathcal{D}(\nabla_x)u(x)$, в которой $\nabla_x = \text{grad}$, а $\mathcal{D}(\nabla_x)$ — (6×3) -матрица дифференциальных операторов первого порядка,

$$\mathcal{D}(\xi)^T = \begin{pmatrix} \xi_1 & 0 & 2^{-1/2}\xi_2 & 0 & 2^{-1/2}\xi_3 & 0 \\ 0 & \xi_2 & 2^{-1/2}\xi_1 & 2^{-1/2}\xi_3 & 0 & 0 \\ 0 & 0 & 0 & 2^{-1/2}\xi_2 & 2^{-1/2}\xi_1 & \xi_3 \end{pmatrix}. \quad (1.3)$$

Кроме того, $\varepsilon_{jk}(u) = \frac{1}{2}(\frac{\partial u_j}{\partial x_k} + \frac{\partial u_k}{\partial x_j})$ — декартовы компоненты тензора деформаций, а множители $2^{1/2}$ и $2^{-1/2}$ введены в определения (1.2) и (1.3) для того, чтобы уравнивать естественные нормы названного тензора второго ранга и шестимерного столбца деформаций (ср. [1, § 2.1]). Столбец напряжений $\sigma(u)$, имеющий аналогичное (1.2) строение, связан со столбцом деформаций *линейным законом Гука* $\sigma(u; x) = A\varepsilon(u; x)$, где A — симметричная и положительно определенная вещественная числовая матрица размером 6×6 , составленная из модулей упругости материала (см. [2; 1, § 2.1]). Таким образом, упругое сочленение $\Xi(h)$ *анизотропное, но однородное* (см. п. 4.4 по поводу доступных обобщений).

Задача о собственных колебаниях упругого тела $\Xi(h)$ выглядит следующим образом:

$$L(\nabla_x)u^h(x) := \mathcal{D}(-\nabla_x)^T A \mathcal{D}(\nabla_x)u^h(x) = \rho \Lambda u^h(x), \quad x \in \Xi(h), \quad (1.4)$$

$$N(x, \nabla_x)u^h(x) := \mathcal{D}(n(x))^T A \mathcal{D}(\nabla_x)u^h(x) = 0, \quad x \in \Sigma(h) := \partial\Xi(h) \setminus (\gamma(h) \cup \Gamma), \quad (1.5)$$

$$u^h(x) = 0, \quad x \in \Gamma. \quad (1.6)$$

Здесь n — единичный вектор (столбец) внешней нормали к поверхности $\partial\Xi(h) \setminus \gamma(h)$, $\gamma(h) = \partial\Omega \cap \partial Q'_h$ — объединение двух ребер, на которых эта нормаль не определена, $\Sigma(h) = \partial\Omega \cap \overline{Q'_h}$ — множество, по которому стяжка прикреплена к телу, а Γ — заземленная часть поверхности тела Ω , причем $P^\pm \notin \overline{\Gamma}$. Плотность $\rho = 1$ упругого материала берем в качестве эталона и тем самым делаем все величины безразмерными.

Обобщенная формулировка задачи (1.4)–(1.6) заключается в отыскании числа Λ и нетривиальной вектор-функции $u^h \in \overset{\circ}{H}^1(\Xi(h); \Gamma)^3$, удовлетворяющих интегральному тождеству [3]

$$a(u^h, v^h; \Xi(h)) = \Lambda(u^h, v^h)_{\Xi(h)}, \quad v^h \in \mathcal{H}^h := \overset{\circ}{H}^1(\Xi(h); \Gamma)^3. \quad (1.7)$$

Подпространство $\overset{\circ}{H}^1(\Xi(h); \Gamma)^3$ составлено из вектор-функций, принадлежащих классу Соболева $H^1(\Xi(h))^3$ и подчиненных условию Дирихле (1.6). Билинейная форма

$$a(u^h, v^h; \Xi(h)) = (A \mathcal{D}(\nabla_x)u^h, \mathcal{D}(\nabla_x)v^h)_{\Xi(h)} \quad (1.8)$$

при $u^h = v^h$ является удвоенной упругой энергией сочленения $\Xi(h)$. Под $(\cdot, \cdot)_{\Xi}$ подразумевается скалярное произведение в пространстве Лебега $L_2(\Xi)^m$, скалярном ($m = 1$) или векторном ($m > 1$); индекс m указывает количество компонент вектор-функции, но в обозначениях норм или скалярных произведений не пишется. Ввиду неравенства Корна (см., например, [4, 5]) билинейную форму (1.8) можно назначить скалярным произведением в гильбертовом пространстве \mathcal{H}^h . Таким образом, благодаря компактности вложения $H^1(\Xi(h)) \subset L_2(\Xi(h))$ спектр задачи (1.7) (или (1.4)–(1.6) в дифференциальной форме) является дискретным и образует неограниченную монотонную последовательность

$$0 < \Lambda_1^h \leq \Lambda_2^h \leq \dots \leq \Lambda_m^h \leq \dots \rightarrow +\infty, \tag{1.9}$$

а соответствующие собственные векторы $u_{(1)}^h, u_{(2)}^h, \dots, u_{(m)}^h, \dots \in \mathcal{H}^h$ можно подчинить условиям ортогональности и нормировки

$$(u_{(m)}^h, u_{(p)}^h)_{\Xi(h)} = \delta_{m,p}, \quad m, p \in \mathbb{N} := \{1, 2, 3, \dots\}, \tag{1.10}$$

где $\delta_{m,p}$ — символ Кронекера. Подчеркнем, что последовательность (1.9) и другие в статье составлены при учете кратностей собственных чисел.

1.3. Обсуждение результатов. Уже классическим стал результат о спектре следующей смешанной¹⁾ краевой задачи для оператора Лапласа Δ :

$$-\Delta u^h(x) = \Lambda^h u^h(x), \quad x \in \Xi(h), \quad \partial_n u^h(x) = 0, \quad x \in \Sigma(h), \quad u^h(x) = 0, \quad x \in \Gamma. \tag{1.11}$$

Именно, пределы при $h \rightarrow +0$ собственных чисел из последовательности (1.9), отвечающей задаче (1.11), образуют объединение последовательностей

$$0 < \lambda_1 \leq \lambda_2 \leq \dots \leq \lambda_m \leq \dots \rightarrow +\infty, \tag{1.12}$$

$$0 < \mu_1 \leq \mu_2 \leq \dots \leq \mu_m \leq \dots \rightarrow +\infty \tag{1.13}$$

двух предельных задач: задачи в области Ω

$$-\Delta v(x) = \lambda v(x), \quad x \in \Omega, \quad \partial_n v(x) = 0, \quad x \in \partial\Omega \setminus \Gamma, \quad v(x) = 0, \quad x \in \Gamma,$$

и задачи Дирихле для обыкновенного дифференциального уравнения

$$-\partial_z^2 w(z) = \mu w(z), \quad z \in \Upsilon, \quad w(\pm 1) = 0.$$

Помимо равенства $\{\lim_{m \in \mathbb{N}} \Lambda_m^h\} = \{\lambda_n\}_{n \in \mathbb{N}} \cup \{\mu_j\}_{j \in \mathbb{N}}$, выражающего упомянутый ранее факт, известны асимптотические формулы для собственных чисел и функций задачи (1.11). Сошлемся на публикации [6, 7], инициировавшие исследование задачи (1.11), а также в некотором смысле завершающую работу [8], где и построены полные асимптотические разложения во всевозможных ситуациях.

Полученные в данной статье результаты показывают, что асимптотическое строение спектра упругой задачи (1.4)–(1.6) существенно отличается от скалярного случая. Так, в § 3 установлено соотношение

$$\lim_{h \rightarrow +0} h^{-2} \Lambda_m^h = \lambda_m, \quad m \in \mathbb{N}, \tag{1.14}$$

¹⁾Цитированные далее работы обычно имеют дело с задачей Неймана, однако для удобства сравнения с задачей (1.4)–(1.6) назначили условие Дирихле на части Γ поверхности $\partial\Omega$.

где λ_m — собственные числа первой предельной задачи для стержня, выведенной в п. 2.1 на основе процедуры понижения размерности (см., например, [1, гл. 5, 7]) и представляющей собой задачу Дирихле для системы четырех обыкновенных дифференциальных уравнений на интервале $\Upsilon = (-1, 1)$. Формула (1.14) описывает эффект концентрации спектра задачи (1.4)–(1.6): все собственные числа со скоростью $O(h^2)$ стремятся к нулю. В п. 4.2 (теорема 4.1) этот результат уточнен и установлена оценка

$$|\Lambda_m^h - h^2 \lambda_m| \leq C_m h^{5/2}. \quad (1.15)$$

Для объединенной последовательности (1.13) собственных чисел двух других предельных задач на интервале Υ и в области Ω , указанных в п. 2.2 и п. 2.3 соответственно, проверено (теорема 4.4) соотношение

$$|\Lambda_{N^h(n)}^h - \mu_n| \leq C_n h^{1/2}. \quad (1.16)$$

Подчеркнем особо, что формула (1.16) не влечет за собой какую-либо сходимость: номер $N^h(n)$ фигурирующего в ней члена последовательности (1.9) зависит от параметра h , что согласуется с асимптотикой (1.15). Наконец, в п. 4.4 обсуждаются возможные обобщения результатов и формулируются открытые вопросы.

§ 2. Предельные задачи

2.1. Первая предельная задача. Сводка результатов по асимптотическому анализу тонких упругих стержней. Для сужения собственного вектора u на стяжку $Q(h)$ примем анзац, обычный в линейной теории тонких стержней (см., например, [1, гл. 5]):

$$u^h(x) = h^{-2}U^{-2}(z) + h^{-1}U^{-1}(\eta, z) + h^0U^0(\eta, z) + h^1U^1(\eta, z) + h^2U^2(\eta, z) + \dots \quad (2.1)$$

Здесь

$$U^{-2}(z) = \sum_{i=1}^2 w_i(z)e_i, \quad U^{-1}(\eta, z) = \left(w_3(z) + \sum_{i=1}^2 \eta_i \partial_z w_i(z) \right) e_3 + w_4(z)\theta(\eta), \quad (2.2)$$

$\eta = h^{-1}y \in \mathbb{R}^2$ — растянутые координаты, e_j — орт оси x_j , $\theta(\eta) = 2^{-1/2}(\eta_1 e_2 - \eta_2 e_1)$ — поворот вокруг оси $z = x_3$, $w = (w_1, w_2, w_3, w_4)^\top$ — вектор-функция, подлежащая определению, причем ее компоненты w_1 и w_2 связаны с (приближенными) прогибами стержня в нормальных направлениях, w_3 — с продольным смещением, и w_4 — с закручиванием стержня.

Предвосхищая результат формального асимптотического анализа, укажем, что функции w_1 и w_2 в анзаце (2.1), (2.2) могут быть ненулевыми только при малых собственных числах задачи (1.4)–(1.6), для которых примем следующий анзац:

$$\Lambda^h = h^2 \lambda + \dots \quad (2.3)$$

В координатах η и z оператор $L(\nabla_x)$ из левой части (1.4) допускает расщепление

$$L(\nabla_x) = h^{-2}L^0(\nabla_\eta) + h^{-1}L^1(\nabla_\eta, \partial_z) + h^0L^2(\partial_z), \quad (2.4)$$

$$L^0 = -\mathcal{D}_\eta^\top A \mathcal{D}_\eta, \quad L^1 = -\mathcal{D}_\eta^\top A \mathcal{D}_z - \mathcal{D}_z^\top A \mathcal{D}_\eta, \quad L^2 = -\mathcal{D}_z^\top A \mathcal{D}_z, \quad (2.5)$$

$$\mathcal{D}_\eta = \mathcal{D}(\partial/\partial\eta_1, \partial/\partial\eta_2, 0), \quad \mathcal{D}_z = \mathcal{D}(0, 0, \partial/\partial z).$$

Аналогично

$$N(x, \nabla_x) = h^{-1}N^0(\eta, \nabla_\eta) + h^0N^1(\eta, \nabla_\eta, \partial_z), \quad (2.6)$$

$$N^0 = \mathcal{D}_n^\top A \mathcal{D}_\eta, \quad N^1 = \mathcal{D}_n^\top A \mathcal{D}_z, \quad \mathcal{D}_n = \mathcal{D}(n_1, n_2, 0). \quad (2.7)$$

Здесь фигурируют компоненты единичной нормали $n = (n_1, n_2, 0)^\top$ к цилиндрической части поверхности стяжки. Подставим соотношения (2.1), (2.3) и (2.4), (2.6) в задачу (1.4), (1.5), суженную на стержень $Q(h)$ и его боковую поверхность. Собирая слагаемые с одинаковыми множителями h^p , приходим к рекуррентной последовательности краевых задач Неймана на сечении стержня с параметром $z \in \Upsilon$:

$$L^0U^k = F^k := -L^1U^{k-1} - L^2U^{k-2} + \delta_{k,2}\lambda \text{ на } \omega, \quad N^0U^k = G^k := -N^1U^{k-1} \text{ на } \partial\omega, \quad (2.8)$$

где $k = -2, \dots, 2$ и $U^p = 0$ при $p < -2$. Нетрудно убедиться в том, что вектор-функции (2.2) удовлетворяют задачам (2.8) при $k = -2$ и $k = -1$. Кроме того, в случае $k = 0$ согласно формулам (2.2) и (2.5), (2.7) имеем

$$\begin{aligned} F^0 &= \mathcal{D}_\eta^\top A \mathcal{D}_z U^{-1} + \mathcal{D}_z^\top A (\mathcal{D}_\eta U^{-1} + \mathcal{D}_z U^{-2}) = \mathcal{D}_\eta^\top A \mathcal{D}_z U^{-1}, \\ G^0 &= -\mathcal{D}_n^\top A \mathcal{D}_z U^{-1}, \\ \mathcal{D}_z U^{-1}(\eta, z) &= \mathcal{Y}(\eta) \mathbf{D}(\partial_z) w(z), \quad \mathbf{D}(\partial_z) = \text{diag}(\partial_z^2, \partial_z^2, \partial_z^1, \partial_z^1), \\ \mathcal{Y}(\eta) &= \begin{pmatrix} 0 & 0 & 0 & 0 & \eta_1 \\ 0 & 0 & 0 & 0 & \eta_2 \\ 0 & 0 & 0 & 0 & 1 \\ 0 & 0 & -\eta_2/2 & \eta_1/2 & 0 \end{pmatrix}. \end{aligned} \quad (2.9)$$

Таким образом, решение задачи (2.8) при $k = 0$ приобретает вид

$$U^0(\eta, z) = \mathcal{X}(\eta) \mathbf{D}(\partial_z) w(z), \quad (2.10)$$

где \mathcal{X} — (3×4) -матрица-функция, удовлетворяющая (матричной, а не векторной, как (2.8)) задаче на сечении

$$-\mathcal{D}_\eta^\top A \mathcal{D}_\eta \mathcal{X} = \mathcal{D}_\eta^\top A \mathcal{Y} \text{ на } \omega, \quad \mathcal{D}_n^\top A \mathcal{D}_\eta \mathcal{X} = -\mathcal{D}_n^\top A \mathcal{Y} \text{ на } \partial\omega. \quad (2.11)$$

При помощи формулы интегрирования по частям проверяем условия разрешимости этой задачи:

$$\begin{aligned} \int_{\omega_1(z)} F_p^0(\eta, z) d\eta + \int_{\partial\omega_1(z)} G_p^0(\eta, z) ds_\eta &= 0, \quad p = 1, 2, 3, \\ \int_{\omega_1(z)} \theta(\eta)^\top F^0(\eta, z) d\eta + \int_{\partial\omega_1(z)} \theta(\eta)^\top G^0(\eta, z) ds_\eta &= 0. \end{aligned} \quad (2.12)$$

При $k = 1$ правые части равенств (2.8) выглядят так:

$$F^1 = \mathcal{D}_\eta^\top A \mathcal{D}_z U^0 + D_z^\top A (\mathcal{D}_\eta U^0 + \mathcal{D}_z U^{-1}), \quad G^1 = -\mathcal{D}_n^\top A \mathcal{D}_z U^0. \quad (2.13)$$

В [9, п. 4.2; 1, п. 5.3.4] проверено, что первые два ($p = 1, 2$) условия разрешимости (2.12) задачи (2.8), $k = 0$, с правыми частями (2.13) выполнены автоматически, а другие два принимают вид двух нижних строк следующей системы обыкновенных дифференциальных уравнений:

$$\mathbf{L}(\partial_z)w(z) := \mathbf{D}(-\partial_z)^\top \mathbf{A} \mathbf{D}(\partial_z)w(z) = \lambda E'(\omega)w(z), \quad z \in (-1, 1). \quad (2.14)$$

Здесь $E(\omega) = \text{diag}(|\omega|, |\omega|, 0, 0)$, $|\omega|$ — площадь фигуры ω и

$$\mathbf{A} = \int_{\omega_1(z)} (\mathcal{D}_\eta \mathcal{X}(\eta) + \mathcal{Y}(\eta))^\top A (\mathcal{D}_\eta \mathcal{X}(\eta) + \mathcal{Y}(\eta)) d\eta. \quad (2.15)$$

Две верхние строки системы 2.14 представляют собой два первых ($p = 1, 2$) условия разрешимости (2.12) задачи (2.8), $k = 2$, в которой правые части имеют вид

$$F^2 = \mathcal{D}_\eta^\top A \mathcal{D}_z U^1 + \mathcal{D}_z^\top A (\mathcal{D}_\eta U^1 + \mathcal{D}_z U^0) + \lambda U^{-2}, \quad G^2 = -\mathcal{D}_n^\top A \mathcal{D}_z U^1. \quad (2.16)$$

Подчеркнем, что все преобразования [9, §2; 1, п. 5.3.4] упомянутых условий разрешимости опираются на соотношения (2.11) и формулу для U^{-1} в списке (2.9).

В [9, п. 2.6; 1, п. 5.3.4] также установлено, что \mathbf{A} — симметричная положительно определенная (4×4)-матрица. Поскольку матрица $\mathbf{D}(\partial_z)$ из второй строки (2.9) диагональная, знак транспонирования при первом сомножителе в средней части (2.14) можно не писать и он оставлен только для того, чтобы подчеркнуть схожесть строения систем (2.14) и (1.4).

Снабдим систему уравнений (2.14) граничными условиями

$$w_q(\pm 1) = 0, \quad q = 1, \dots, 4, \quad \partial_z w_i(\pm 1) = 0, \quad i = 1, 2. \quad (2.17)$$

Итак, сформирована первая предельная спектральная задача для стержня.

Лемма 2.1. *Задача (2.14), (2.17) обладает последовательностью собственных чисел (1.12), а соответствующие собственные векторы $w_{(m)} = (w_{(m)1}, \dots, w_{(m)4})^\top$ можно подчинить условиям ортогональности и нормировки*

$$|\omega|(w'_{(m)}, w'_{(p)})_\Upsilon = \delta_{m,p}, \quad m, p \in \mathbb{N}, \quad (2.18)$$

где $w'_{(m)} = (w_{(m)1}, w_{(m)2})^\top$ — усеченный вектор $w_{(m)}$.

Замечание 2.1. Поскольку в правой части 2.14 расположена вырожденная диагональная матрица $E'(\omega)$, проверка леммы 2.1 требует дополнительных построений. В гильбертовом пространстве $\mathbf{H} = \overset{\circ}{H}^2(\Upsilon)^2 \times \overset{\circ}{H}^1(\Upsilon)^2$ введем скалярное произведение $\langle w, v \rangle = (\mathbf{A}\mathbf{D}(\partial_z)w, \mathbf{D}(\partial_z)v')_\Upsilon$, а также положительный, непрерывный и симметрический, а значит, самосопряженный оператор \mathbf{T} при помощи формулы $\langle \mathbf{T}w, v \rangle = |\omega|(w', v')_\Upsilon$, $w, v \in \mathbf{H}$. Обобщенная постановка задачи (2.14), (2.17), т. е. интегральное тождество

$$(\mathbf{A}\mathbf{D}(\partial_z)w, \mathbf{D}(\partial_z)v')_\Upsilon = \lambda |\omega|(w', v')_\Upsilon, \quad v \in \mathbf{H}, \quad (2.19)$$

равносильна абстрактному уравнению $\mathbf{T}w = \tau w$ в \mathbf{H} . Связь $\tau = \lambda^{-1}$ спектральных параметров переделывает последовательность

$$\tau_1 \geq \tau_2 \geq \dots \geq \tau_m \geq \dots \rightarrow +0 \quad (2.20)$$

собственных чисел компактного оператора \mathbf{T} в последовательность (1.12) собственных чисел задачи (2.19). Напомним, что согласно [10, теоремы 10.1.5, 10.2.2] спектр оператора состоит из дискретного спектра (2.20) и существенного спектра $\{\tau = 0\}$. \square

2.2. Вторая предельная задача на стержне. Помимо серии малых собственных чисел (2.3) задачи (1.4)–(1.6) возникает серия собственных чисел, представимых в виде

$$\Lambda^h = \mu + \dots \quad (2.21)$$

Процедура нахождения соответствующей системы обыкновенных дифференциальных уравнений в целом повторяет вывод системы (2.14). Тем не менее имеются и различия. Из-за модификации асимптотического анзаца для собственных чисел условиями разрешимости задачи (2.8) при $k = 0$ становятся равенства

$$|\omega|\mu w_i(z) = 0, \quad i = 1, 2, \quad z \in (-1, 1).$$

Следовательно, в формулах (2.1) и (2.2) приходится положить $w_1 = w_2 = 0$ и тем самым укоротить их следующим образом:

$$u^h(x) = h^{-1}U^{-1}(\eta, z) + h^0U^0(\eta, z) + h^1U^1(\eta, z) + \dots, \quad (2.22)$$

$$U^{-1}(\eta, z) = w_3(z)e_3 + w_4(z)\theta(\eta). \quad (2.23)$$

Кроме того, в правой части первой формулы (2.13) появляется дополнительное слагаемое μU^{-1} . В результате условия разрешимости (2.12) задачи (2.8), $k = 1$, записываются как система двух обыкновенных дифференциальных уравнений

$$-\partial_z \mathbf{A}'' \partial_z w''(z) = \mu E''(\omega) w''(z), \quad z \in (-1, 1). \quad (2.24)$$

При этом $w'' = (w_3, w_4)^\top$ — укороченный вектор, дополняющий w' до w , \mathbf{A}'' — правый нижний (2×2) -блок матрицы \mathbf{A} , $E''(\omega) = \text{diag}(|\omega|, \frac{1}{2} \int_{\omega} |\eta|^2 d\eta)$ — диагональная (2×2) -матрица (при замене ею правого нижнего (2×2) -блока матрицы $E'(\omega)$ из (2.14) возникает неособенная (4×4) -матрица $E(\omega)$). Задача (2.8) при $k = 2$ остается неостребованной: при обосновании асимптотики в п. 4.3 точность, обеспеченная анзацем (2.22), оказывается достаточной.

Система обыкновенных дифференциальных уравнений (2.24), снабженная граничными условиями

$$w''(\pm 1) = 0, \quad (2.25)$$

представляет собой вторую предельную спектральную задачу для стержня. Следующее утверждение очевидно.

Лемма 2.2. *Задача (2.24), (2.25) обладает последовательностью собственных чисел*

$$0 < \mu_1^\Upsilon \leq \mu_2^\Upsilon \leq \dots \leq \mu_m^\Upsilon \leq \dots \rightarrow +\infty, \quad (2.26)$$

а соответствующие собственные векторы $w''_{(m)} = (w_{(m)3}, w_{(m)4})^\top$ можно подчинить условиям ортогональности и нормировки $(E''(\omega)w''_{(m)}, w''_{(p)})_\Upsilon = \delta_{m,p}$, $m, p \in \mathbb{N}$.

2.3. Предельная задача на теле. Включение задачи

$$L(x, \nabla_x)v(x) = \mu v(x), \quad x \in \Omega, \quad N(x, \nabla_x)v(x) = 0, \quad x \in \partial\Omega \setminus \Gamma, \quad v(x) = 0, \quad x \in \Gamma, \quad (2.27)$$

в список предельных не может вызвать недоумения. Справедливо неравенство Корна

$$\|v; H^1(\Omega)\| \leq c_\Omega \|\mathcal{D}(\nabla_x)v; L_2(\Omega)\|, \quad v \in \overset{\circ}{H}^1(\Omega; \Gamma)^3 \quad (2.28)$$

(см. [4, 5] и др.). Поэтому собственные числа задачи (2.27) составляют последовательность

$$0 < \mu_1^\Omega \leq \mu_2^\Omega \leq \dots \leq \mu_m^\Omega \leq \dots \rightarrow +\infty. \quad (2.29)$$

Соответствующие собственные вектор-функции v^m можно подчинить условиям ортогональности и нормировки

$$(v_{(m)}, v_{(p)})_\Omega = \delta_{m,p}, \quad m, p \in \mathbb{N}. \quad (2.30)$$

§ 3. Теорема о сходимости

3.1. Весовое анизотропное неравенство Корна. Пусть $u^h \in \overset{\circ}{H}^1(\Xi(h); \Gamma)^3$. В дополнение к неравенству Корна (2.28) напишем следствие

$$\|r^{-1}u^h; L_2(\Omega)\| \leq c\|u^h; H^1(\Omega)\| \quad (3.1)$$

одномерного неравенства Харди

$$\int_0^d |U(r)|^2 dr \leq 4 \int_0^d r^2 \left| \frac{dU}{dr}(r) \right|^2 dr, \quad U \in C^1[0, d], \quad U(d) = 0, \quad d \in (0, +\infty]. \quad (3.2)$$

Здесь $r(x)$ — расстояние от x до ближайшей из точек P^\pm . Рассмотрим стержень $\mathbf{Q}_h = \{x \in Q'_h : |z| < 1 + 2lh\} \subset Q_h$, а постоянную l подберем так, чтобы сечения $\omega_h(\pm 1 \pm lh)$ попали вовнутрь тела Ω . Введем гладкую срезающую функцию \mathbf{X}_h , $\mathbf{X}_h(z) = 1$ при $|z| \leq 1$ и $\mathbf{X}_h(z) = 0$ при $|z| \geq 1 + lh$; можно считать, что $|\partial_z^k \mathbf{X}_h(z)| \leq c_k h^{-k}$, $k = 0, 1, \dots$. Поскольку $r(x) \leq ch$ при $x \in \mathbf{Q}_h \setminus Q_h$, верна формула

$$\begin{aligned} & \left| \|\mathcal{D}(\nabla_x(\mathbf{X}_h u^h); L_2(\mathbf{Q}_h))\|^2 - \|\mathcal{D}(\nabla_x u^h; L_2(\mathbf{Q}_h))\|^2 \right| \\ & \leq c(\|\nabla_x u^h; L_2(\mathbf{Q}_h \setminus Q_h)\|^2 + h^{-2}\|u^h; L_2(\mathbf{Q}_h \setminus Q_h)\|^2) \\ & \leq c(\|\nabla_x u^h; L_2(\mathbf{Q}_h \setminus Q_h)\|^2 + \|r^{-1}u^h; L_2(\mathbf{Q}_h \setminus Q_h)\|^2) \leq c\|u^h; H^1(\mathbf{Q}_h)\|^2 \end{aligned}$$

(множитель h^{-2} возник из-за дифференцирования срезки, но погашен допустимым весовым множителем r^{-2}). Согласно [1, теорема 3.4.6] (см. первоисточники [11–14]) на тонком стержне \mathbf{Q}_h с зашпеленными торцами $\omega_h(\pm 1 \pm 2lh)$ (произведение $\mathbf{X}_h u^h$ обращается в нуль при $z = \pm 1 \pm 2dh$) справедливо *весовое анизотропное* неравенство Корна

$$\|\mathbf{u}^h; \mathbf{Q}_h\|_h \leq c\|\mathcal{D}(\nabla_x)\mathbf{u}^h; L_2(\mathbf{Q}_h)\|, \quad (3.3)$$

в котором постоянная c не зависит от параметра h и, разумеется, вектор-функции $\mathbf{u}^h = \mathbf{X}_h u^h \in \overset{\circ}{H}^1(\mathbf{Q}_h; \omega_h(\pm 1 \pm 2lh))^3$, а норма из левой части (3.3) задана так:

$$\begin{aligned} \|\mathbf{u}^h; \mathbf{Q}_h\|_h &= \left(\int_{\mathbf{Q}_h} \left(\sum_{i=1,2} \left(\left| \frac{\partial \mathbf{u}_i^h}{\partial y_i} \right|^2 + h^2 \varrho_h^{-2} \left(\left| \frac{\partial \mathbf{u}_i^h}{\partial z} \right|^2 + \left| \frac{\partial \mathbf{u}_3^h}{\partial y_i} \right|^2 \right) + h^2 \varrho_h^{-4} |\mathbf{u}_i^h|^2 \right) \right. \right. \\ & \quad \left. \left. + h^2 \varrho_h^{-2} \left(\left| \frac{\partial \mathbf{u}_1^h}{\partial y_2} \right|^2 + \left| \frac{\partial \mathbf{u}_2^h}{\partial y_1} \right|^2 \right) + \left| \frac{\partial \mathbf{u}_z^h}{\partial z} \right|^2 + \varrho_h^{-2} |\mathbf{u}_3^h|^2 \right) dx \right)^{1/2}. \quad (3.4) \end{aligned}$$

Здесь $\varrho_h(z) = 1 - |z| + h$ — весовой множитель, равный $O(h)$ вблизи концов стержня и $O(1)$ на удалении от них. Далее удобно использовать еще один весовой множитель $r_h(x) = \text{dist}(x, P^\pm) + h$ и норму

$$\|\mathbf{u}^h; \Omega\|_h = (\|\nabla_x u^h; L_2(\Omega)\|^2 + \|r_h^{-1}u^h; L_2(\Omega)\|^2)^{1/2}, \quad (3.5)$$

согласованную с оценками (2.28) и (3.1). Поскольку $\mathbf{u} = \mathbf{X}_h u = u$ на стяжке $Q(h)$, установлено следующее утверждение.

Теорема 3.1. Для вектор-функции $u^h \in \overset{\circ}{H}^1(\Omega; \Gamma)^3$ выполнено неравенство

$$\|u^h; \Xi(h)\|_h \leq c \|\mathcal{D}(\nabla_x)u^h; L_2(\Xi(h))\|, \quad (3.6)$$

где норма $\|u^h; \Xi(h)\|_h$ определена как сумма норм (3.4) и (3.5), а множитель c не зависит от $h \in (0, 1]$ и u .

Распределение весовых множителей во введенных нормах является асимптотически точным (проверку см., например, в книге [1] и обзоре [15]).

3.2. Выделение сходящихся последовательностей. В п. 4.2 будет доказано, что при любом $m \in \mathbb{N}$ справедливо соотношение

$$\Lambda_m^h \leq c_m h^2, \quad h \in (0, h_m), \quad (3.7)$$

где c_m и h_m — некоторые положительные величины (зависящие от порядкового номера m). Пусть $u_{(m)}^h$ — собственная вектор-функция задачи (1.4)–(1.6), отвечающая собственному числу Λ_m^h и нормированная согласно формуле (1.10). В силу интегрального тождества (1.7) имеем

$$c_m h^2 \geq \Lambda_m^h = (A\mathcal{D}(\nabla_x)u_{(m)}^h, \mathcal{D}(\nabla_x)u_{(m)}^h)_{\Xi(h)} \geq c_A \|\mathcal{D}(\nabla_x)u_{(m)}^h; L_2(\Xi(h))\|^2,$$

где $c_A > 0$, а значит, при учете оценки (3.6) находим, что

$$\|u_{(m)}^h; L_2(\Omega)\| \leq c \|u_{(m)}^h; \Omega\|_h \leq ch, \quad \|u_{(m)}^h; \mathbf{Q}_h\|_h \leq ch. \quad (3.8)$$

Здесь и далее мажоранты по-прежнему зависят от номера m собственного числа, однако это не отражено в их обозначении.

Определим функции

$$w_{(m)i}^h(z) = hX_h(z)\bar{u}_{(m)i}^h(z), \quad i = 1, 2, \quad w_{(m)3}^h(z) = X_h(z)\bar{u}_{(m)3}^h(z), \quad (3.9)$$

где составляющие $\bar{u}_{(m)j}^h$ заданы формулой

$$\bar{u}_j^h(z) = |\omega_h(z)|^{-1} \int_{\omega_h(z)} u_j^h(y, z) dy, \quad j = 1, 2, 3, \quad (3.10)$$

$X_h \in C_c^\infty(\Upsilon)$ — срезающая функция, $X_h(z) = 1$ при $|z| \leq 1 - 2lh$, $X_h(z) = 0$ при $|z| \geq 1 - lh$, $|\partial_z^p X_h(z)| \leq c_p h^{-p}$, $p = 0, 1, 2, \dots$, а величина $d > 0$ подобрана так, чтобы $X_h = 0$ вне стяжки $Q(h)$. Введем еще одну функцию

$$w_{(m)4}^h(z) = X_h(z) \left(\frac{1}{2} \int_{\omega_h(z)} |y|^2 dy \right)^{-1} \int_{\omega_h(z)} \theta(y)^\top u_{(m)}^h(y, z) dy. \quad (3.11)$$

Отметим, что множителями при интегралах в правых частях (3.10) и (3.11) служат элементы (4×4) -матрицы $E(\omega)^{-1}$.

Учитывая введенные ранее определения, получаем при $i = 1, 2$, что

$$\begin{aligned} \|w_{(m)i}^h; H^1(\Upsilon)\|^2 &\leq ch^2 \left(\int_{\Upsilon} (|\bar{u}_{(m)i}^h(z)|^2 + |\partial_z \bar{u}_{(m)i}^h(z)|^2) dz + h^{-2} \int_{\Upsilon(h)} |\bar{u}_{(m)i}^h(z)|^2 dz \right) \\ &\leq ch^2 \int_{\Upsilon} \left(|\omega_h(z)|^{-1} \int_{\omega_h(z)} ((1 + \varrho_h(z)^{-2}) |u_{(m)i}^h(z)|^2 + |\partial_z u_{(m)i}^h(z)|^2) dy \right. \\ &\quad \left. + |\omega_h(z)|^{-2} |\partial \omega_h(z)| h^2 \int_{\partial \omega_h(z)} |u_{(m)i}^h(z)|^2 ds_y \right) dz \leq ch^{-2} \|u_{(m)}^h; \mathbf{Q}_h\|_h^2 \leq c. \end{aligned} \quad (3.12)$$

Эта выкладка нуждается в пояснениях. Первый множитель h^{-2} в (3.12) возник из-за дифференцирования срезки X_h , однако благодаря сужению интеграла на $\Upsilon(h) = (-1+lh, -1+2lh) \cup (1-2lh, 1-lh)$ (только на этих коротких интервалах производная $\partial_z X_h$ отлична от нуля) названный множитель удалось заменить весом $\varrho_h(z)^{-2}$, фигурирующим в норме (3.4). Кроме того, были применены правило дифференцирования интегралов с переменными пределами (соответственно $|\partial\omega|$ — периметр фигуры ω) и следовое неравенство

$$h \int_{\partial\omega_h} |v(y)|^2 ds_y \leq c \int_{\omega_h} (h^2 |\nabla_y v(y)|^2 + |v(y)|) dy. \quad (3.13)$$

В (3.13) распределение степеней параметра h фиксируется растяжением координат $y \mapsto \eta$. В конце выкладки (3.12) использованы формула (3.4) для анизотропной нормы и оценка (3.8).

Такие же преобразования с понятными изменениями показывают, что

$$\|w_{(m)j}^h; H^1(\Upsilon)\|^2 \leq ch^{-2} \|u_{(m)}^h; \mathbf{Q}_h\|_h^2 \leq c, \quad j = 3, 4. \quad (3.14)$$

Следовательно, существует бесконечно малая положительная последовательность $\{h_p\}$, вдоль которой верны сходимости

$$h^{-2} \Lambda_m^{h_p} \rightarrow \lambda_m^0, \quad w_{(m)}^{h_p} \rightarrow w_{(m)}^0 \quad \text{слабо в } H^1(\Upsilon)^4 \quad \text{и сильно в } L_2(\Upsilon)^4. \quad (3.15)$$

Подчеркнем, что $w_{(m)}^h(\pm 1) = 0 \in \mathbb{R}^4$, а значит, $w_{(m)}^0 \in \overset{\circ}{H}^1(\Upsilon)^4$. Этот же факт можно выразить включением $w_{(m)}^0 \in V_0^1(\Upsilon)^4$, где $V_\beta^l(\Upsilon)$ — весовое пространство Кондратьева [16] с нормой

$$\|w; V_\beta^l(\Upsilon)\| = \left(\sum_{q=0}^l \|\varrho_0^{\beta-l+q} \partial_z^q w; L_2(\Upsilon)\|^2 \right)^{1/2},$$

причем $\beta \in \mathbb{R}$, $l = 0, 1, \dots$, а $\varrho_0(z) = 1 - |z|$ — расстояние до концов отрезка Υ . Эквивалентность обычной $\|\cdot; H^1(\Upsilon)\|$ и весовой $\|\cdot; V_0^1(\Upsilon)\|$ норм в пространстве $\overset{\circ}{H}^1(\Upsilon)$ обеспечено одномерным неравенством Харди, получающимся из неравенства (3.2) с $d = +\infty$ заменой $r \mapsto \varrho = 1/r$. Поскольку подынтегральное выражение (3.4) содержит множители $h^2 \varrho_h(z)^{-4}$ и $h^2 \varrho_h(z)^{-2}$ при $u_i^h(z)$ и $\partial_z u_i^h(z)$ соответственно, незначительные изменения в выкладке (3.13) приводят к неравенствам $\|w_{(m)i}^h; V_{-1}^1(\Upsilon)\| \leq c$, $i = 1, 2$. В результате, разрежая при необходимости последовательность $\{h_p\}$, обнаруживаем, что

$$w_{(m)i}^{h_p} \rightarrow w_{(m)i}^0 \quad \text{слабо в } V_{-1}^1(\Upsilon), \quad i = 1, 2. \quad (3.16)$$

Подчеркнем, что включение функции $w_i \in H^2(\Upsilon)$ в пространство $V_{-1}^1(\Upsilon)$ означает, что для нее выполнены граничные условия (2.17) при $i = 1, 2$.

Напишем еще несколько соотношений:

$$|(u_{(m)}^h, u_{(m)}^h)_\Omega| \leq c \|u_{(m)}^h; \Omega\|_h^2 \leq ch^2, \quad |(u_{(m)3}^h, u_{(m)3}^h)_{Q(h)}| \leq c \|u_{(m)}^h; Q(h)\|_h^2 \leq ch^2,$$

$$\begin{aligned} & |(u_{(m)i}^h, u_{(m)i}^h)_{Q(h)} - (X_h u_{(m)i}^h, X_h u_{(m)i}^h)_{Q(h)}| \\ & \leq ch^4 \|\varrho_h^{-2} u_{(m)i}^h; L_2(Q(h))\|^2 \leq ch^2 \|u_{(m)i}^h; Q(h)\|_h^2 \leq ch^4, \end{aligned} \quad (3.17)$$

$$(X_h u_{(m)i}^h, X_h u_{(m)i}^h)_{Q_h} = (w_{(m)i}^h, w_{(m)i}^h)_{Q_h} + (X_h u_{(m)i}^h - w_{(m)i}^h, X_h u_{(m)i}^h - w_{(m)i}^h)_{Q_h},$$

$$\begin{aligned} \|X_h u_{(m)i}^h - w_{(m)i}^h; L_2(Q(h))\|^2 &\leq ch^2 \|\nabla_y (X_h u_{(m)i}^h - w_{(m)i}^h); L_2(Q_h)\|^2 \\ &= ch^2 \|X_h \nabla_y u_{(m)i}^h; L_2(Q_h)\|^2 \leq c \|u_{(m)i}^h; Q(h)\|_h^2 \leq ch^2. \end{aligned}$$

Первая пара — следствие оценок (3.8). Кроме того, в пятом дополнительно использовано неравенство Пуанкаре с малым множителем $O(h^2)$, так как средние по сечению ω_h у разностей $X_h u_{(m)i}^h - w_{(m)i}^h$ нулевые. Определение средних также учтено в четвертом соотношении. В третьем дополнительный множитель h^4 получен введением под норму веса ϱ_h^{-2} , имеющего порядок h^{-2} на носителе функции $1 - X_h^2$. Перечисленные факты и отмеченная в формуле (3.15) сильная сходимость в $L_2(\Upsilon)$ преобразуют условие нормировки (1.10) собственной функции $u_{(m)}^h$ в равенство

$$|\omega|(w_{(m)}^{0r}, w_{(m)}^{0r})_\Upsilon = 1. \tag{3.18}$$

3.3. Предельный переход в интегральном тождестве. В обобщенной постановке (1.7) спектральной задачи (1.4)–(1.6) выберем специальную пробную функцию $v \in \overset{\circ}{H}^1(\Xi(h); \Gamma)^3$, имитирующую асимптотическую конструкцию (2.1). Именно, зафиксируем какую-нибудь вектор-функцию $\mathbf{v} = (\mathbf{v}_1, \dots, \mathbf{v}_4)^\top \in C_c^\infty(\Upsilon)^4$ и определим выражения \mathbf{V}^{-2} , \mathbf{V}^{-1} и \mathbf{V}^0 по формулам (2.2) и (2.10), а \mathbf{V}^1 — как решение задачи (2.8) с номером $k = 1$ и правыми частями $\mathbf{F} = \mathbf{F}^1 - \mathbf{f}^1$, $\mathbf{G} = \mathbf{G}^1$, где \mathbf{F}^1 и \mathbf{G}^1 заданы равенствами (2.13), в которых выражения U^0 и U^{-1} заменены выражениями \mathbf{V}^0 и \mathbf{V}^{-1} соответственно, и

$$\mathbf{f}^1(y, z) = |\omega|^{-1} e_3 \mathbf{L}_3(\partial_z) \mathbf{v}(z) + \left(\frac{1}{2} \int_\omega |\eta|^2 d\eta \right)^{-1} \theta(\eta) \mathbf{L}_4(\partial_z) \mathbf{v}(z), \tag{3.19}$$

$$\begin{aligned} \mathbf{L}_3(\partial_z) \mathbf{v}(z) &= \int_\omega \mathbf{F}_3^1(\eta, z) d\eta + \int_{\partial\omega} \mathbf{G}_3^1(\eta, z) ds_\eta, \\ \mathbf{L}_4(\partial_z) \mathbf{v}(z) &= \int_\omega \theta(\eta)^\top \mathbf{F}^1(\eta, z) d\eta + \int_{\partial\omega} \theta(\eta)^\top \mathbf{G}^1(\eta, z) ds_\eta. \end{aligned} \tag{3.20}$$

При этом \mathbf{L}_3 и \mathbf{L}_4 — столбцы (4×4) -матрицы \mathbf{L} дифференциальных операторов, введенной соотношениями (3.14), (3.15). Равенства (3.20) обусловлены построениями, которые проведены в п. 2.1, и к тому же обеспечивают условия разрешимости обсуждаемой задачи.

Положим

$$v(x) = h^{-3} \mathbf{V}^{-2}(z) + h^{-2} \mathbf{V}^{-1}(\eta, z) + h^{-1} \mathbf{V}^0(\eta, z) + \mathbf{V}^1(\eta, z) \tag{3.21}$$

(ср. анзац (2.1), умноженный на h^{-1}) и заметим, что при малом $h \in (0, h_\mathbf{v})$ (верхняя грань $h_\mathbf{v} > 0$ зависит от \mathbf{v}) носитель вектор-функции (3.21) лежит в $\overline{Q(h)}$, т. е. v можно продолжить нулем на тело Ω . Из формулы Грина и соотношений (1.4)–(1.6) вытекает равенство

$$\Lambda_m^h(u_{(m)}^h, v)_{\Xi(h)} = (u_{(m)}^h, Lv)_{\Xi(h)} + (u_{(m)}^h, Nv)_{\partial\Xi(h)}, \tag{3.22}$$

в котором множества $\Xi(h)$ и $\partial\Xi(h)$ можно заменить множествами Q_h и $\partial Q_h \cap \partial\Xi(h)$. Имеем

$$\begin{aligned} & \left| (u_{(m)}^h, v)_{Q(h)} - h^{-3} \left((u_{(m)1}^h, \mathbf{v}_1)_{Q(h)} + (u_{(m)2}^h, \mathbf{v}_2)_{Q(h)} \right) \right| \\ & \leq c_{\mathbf{v}} h^{-3} \left(\sum_{i=1}^2 (h \|u_{(m)i}^h - \bar{u}_{(m)i}^h; L_2(Q(h))\| + h^2 \|u_{(m)i}^h; L_2(Q(h))\|) \right. \\ & \quad \left. + h^1 \|u_{(m)3}^h; L_2(Q(h))\| \right) |\omega_h|^{1/2} \leq c_{\mathbf{v}} h^{-1} \|u_{(m)}^h; Q(h)\|_h \leq c_{\mathbf{v}}. \end{aligned}$$

При этом оценены три последних члена из (3.21) и учтено, что у компонент \mathbf{V}_i^{-1} нулевое среднее по сечению, так как начало координат η помещено в центр тяжести фигуры ω (ср. вторую формулу (2.2)). Последнее обстоятельство позволило вычесть среднее $\bar{u}_{(m)i}^h$ и применить неравенство Пуанкаре с малым множителем ch^2 . Кроме того, $X_h v = v$ при $h > 0$, и потому на место $\bar{u}_{(m)i}^h$ можно поставить $h^{-1} w_{(m)}^h$. Итак, благодаря сходимостям (3.15) левая часть (3.22) при $h_p \rightarrow +0$ имеет предел

$$\lim \left(h_p^{-2} \Lambda_m^{h_p} \sum_{i=1}^2 h_p^{-1} \int_{\Upsilon} \int_{\omega_{h_p}} u_{(m)i}^{h_p}(y, z) \mathbf{v}_i(z) dy dz \right) = \lambda_m^0 |\omega| \sum_{i=1}^2 \int_{\Upsilon} w_{(m)}^0(z) \mathbf{v}_i(z) dz.$$

Рассмотрим скалярные произведения в правой части (3.22). При учете расщеплений (2.3), (2.6) находим, что

$$\begin{aligned} Lv &= h^{-5} L^0 \mathbf{V}^{-2} + h^{-4} (L^0 \mathbf{V}^{-1} + L^1 \mathbf{V}^{-2}) + h^{-3} (L^0 \mathbf{V}^0 + L^1 \mathbf{V}^{-1} + L^2 \mathbf{V}^{-2}) \\ & \quad + h^{-2} (L^0 \mathbf{V}^1 + L^1 \mathbf{V}^0 + L^2 \mathbf{V}^{-1}) + h^{-1} (L^1 \mathbf{V}^1 + L^2 \mathbf{V}^0) + L^2 \mathbf{V}^1, \end{aligned} \quad (3.23)$$

$$\begin{aligned} Nv &= h^{-4} N^0 \mathbf{V}^{-2} + h^{-3} (N^0 \mathbf{V}^{-1} + N^1 \mathbf{V}^{-2}) \\ & \quad + h^{-2} (N^0 \mathbf{V}^0 + N^1 \mathbf{V}^{-1}) + h^{-1} (N^0 \mathbf{V}^1 + N^1 \mathbf{V}^0) + N^1 \mathbf{V}^1. \end{aligned} \quad (3.24)$$

Согласно построениям из п. 2.1 аннулируются первые тройки слагаемых из правых частей (3.23) и (3.24). Кроме того, выражение \mathbf{V}^1 было найдено так, чтобы соблюсти равенства

$$L^0 \mathbf{V}^1 + L^1 \mathbf{V}^0 + L^2 \mathbf{V}^{-1} = -\mathbf{f}^1, \quad N^0 \mathbf{V}^1 + N^1 \mathbf{V}^0 = 0, \quad (3.25)$$

а \mathbf{f}^1 — вектор-функция (3.19). Наконец, вспоминая комментарий к формуле (2.16), получаем

$$-\int_{\omega} e_i^{\top} (L^1 \mathbf{V}^1 + L^2 \mathbf{V}^0) d\eta - \int_{\partial\omega} e_i^{\top} N^1 \mathbf{V}^1 ds_{\eta} = \mathbf{L}_i(\partial_z) \mathbf{v}, \quad i = 1, 2. \quad (3.26)$$

В результате благодаря определениям (3.9)–(3.11) верна формула

$$h^{-2} (u_{(m)}^h, \mathbf{f}^1)_{Q(h)} + h^{-1} \sum_{i=1}^2 (u_{(m)i}^h, \mathbf{L}_i(\partial_z) \mathbf{v})_{Q(h)} = (w_{(m)}^h, \mathbf{L}(\partial_z) \mathbf{v})_{\Upsilon}.$$

Теперь обрабатываем остатки и обнаруживаем, что в силу соотношений (3.25), (3.20), (3.26) и (3.8), (3.4), а также следового неравенства (3.13) выполнена оценка

$$\begin{aligned} & \left| (u_{(m)}^h, Lv)_{\Xi(h)} + (u_{(m)}^h, Nv)_{\partial\Xi(h)} - (w_{(m)}^h, \mathbf{L}(\partial_z)\mathbf{v})_{\Upsilon} \right| \\ & \leq c_{\mathbf{v}} \left(\sum_{i=1}^2 (h^{-1} \|u_{(m)i}^h - \bar{u}_{(m)i}^h; L_2(Q(h))\| \right. \\ & \quad + h^{-1} \|u_{(m)i}^h; L_2(Q(h))\| + h^{-1/2} \|u_{(m)i}^h - \bar{u}_{(m)i}^h; L_2(\partial Q(h) \cap \partial\Xi(h))\|) \\ & \quad \left. + h^{-2} \|u_{(m)3}^h; L_2(Q(h))\| + h^{-3/2} \|u_{(m)3}^h; L_2(\partial Q(h) \cap \partial\Xi(h))\| \right) |\omega_h|^{1/2} \\ & \leq c_{\mathbf{v}} \|u_{(k)}^h; Q(h)\|_h \leq c_{\mathbf{v}} h. \end{aligned}$$

Подводя итог проделанным вычислениям, видим, что предел равенства (3.22) вдоль некоторой бесконечно малой положительной последовательности $\{h_p\}$ принимает вид интегрального тождества

$$\lambda_m^0 |\omega| (w_{(m)3}^0, \mathbf{v}_3)_{\Upsilon} = (w_{(m)}^0, \mathbf{L}\mathbf{v})_{\Upsilon}, \quad (3.27)$$

в котором \mathbf{v} — произвольная функция из $C_c^\infty(\Upsilon)^4$. Поскольку $w_{(m)}^0 \in V_{-2}^0(\Upsilon)^2 \times V_{-1}^0(\Upsilon)^2$ (см. высказывание (3.16)), по замыканию тождество (3.27) переносится на пробные функции

$$\mathbf{v} \in V_2^4(\Upsilon)^2 \times V_2^3(\Upsilon) \subset V_0^2(\Upsilon)^2 \times V_0^1(\Upsilon) = \mathring{H}^2(\Upsilon)^2 \times \mathring{H}^1(\Upsilon). \quad (3.28)$$

По той же причине результаты [17; 18, § 4.2] о поднятии гладкости решений эллиптических краевых задач в областях с коническими точками (концы интервала Υ можно считать таковыми) показывают, что для $w_{(m)}^0$ выполнены включения (3.28). Итак, λ_m^0 — собственное число задачи (2.19), а $w_{(m)}^0$ — соответствующая собственная вектор-функция, нормированная условием (3.18).

3.4. Теорема о сходимости. Сформулируем утверждение, доказательство которого будет завершено в п. 4.2 (непроверенными остались оценка (3.7) и равенство $\lambda_m^0 = \lambda_m$).

Теорема 3.2. *Последовательности (1.9) и (1.12) собственных чисел задач (1.4)–(1.6) и (2.14), (2.17) находятся в отношении (1.14).*

§ 4. Обоснование асимптотики

4.1. Абстрактное уравнение. Поступая аналогично замечанию 2.1, назовем скалярным произведением $\langle u^h, v^h \rangle_h$ в пространстве \mathcal{H}^h билинейную форму (1.8) и введем компактный, положительный и симметрический, а значит, самосопряженный оператор T^h :

$$\langle T^h u^h, v^h \rangle_h = (u^h, v^h)_{\Xi(h)}, \quad u^h, v^h \in \mathcal{H}^h. \quad (4.1)$$

При этом интегральное тождество (1.7) становится эквивалентным абстрактному уравнению

$$T^h u^h = \tau^h u^h \quad \text{в } \mathcal{H}^h \quad (4.2)$$

с новым спектральным параметром $\tau^h = (\Lambda^h)^{-1}$.

Основным инструментом в данном параграфе служит следующее классическое утверждение, известное как лемма «о почти собственных» числах и векторах; его доказательство можно найти в [19, 10].

Лемма 4.1. Пусть $V^h \in \mathcal{H}^h$ и $t^h \in (0, +\infty)$ таковы, что

$$\|V^h; \mathcal{H}^h\| = 1, \quad \|T^h V^h - t^h V^h; \mathcal{H}^h\| = \delta^h \in (0, t^h). \quad (4.3)$$

Тогда на сегменте $[t^h - \delta^h, t^h + \delta^h]$ найдется хотя бы одно собственное число оператора T^h . Более того, при любом $\delta_* \in (\delta, t^h)$ справедливо соотношение

$$\left\| V^h - \sum a_k^h \mathcal{U}_{(k)}^h; \mathcal{H}^h \right\| \leq 2 \frac{\delta^h}{\delta_*^h}, \quad (4.4)$$

где суммирование распространено на те собственные числа τ_k^h оператора T^h , которые попадают на сегмент $[t^h - \delta_*^h, t^h + \delta_*^h]$, $\mathcal{U}_{(k)}^h$ — соответствующие собственные векторы, подчиненные условию $\langle \mathcal{U}_{(j)}^h, \mathcal{U}_{(k)}^h \rangle_h = \delta_{j,k}$, а коэффициенты a_k^h удовлетворяют равенству $\sum |a_k^h|^2 = 1$.

4.2. Первая серия собственных чисел (низкочастотный диапазон спектра). Пусть λ_m — собственное число задачи (2.14), (2.17) с кратностью \varkappa_m , т. е. в последовательности (1.12)

$$\lambda_{m-1} < \lambda_m = \dots = \lambda_{m+\varkappa_m-1} < \lambda_{m+\varkappa_m}. \quad (4.5)$$

Построим \varkappa_m экземпляров приближенных решений уравнения (4.2), а именно положим $t_p^h = t_m^h = h^{-2} \lambda_m^{-1}$ и $V_{(p)}^h(x) = \|W_{(p)}^h; \mathcal{H}^h\|^{-1} W_{(p)}^h(x)$, где $p = m, \dots, m + \varkappa_m - 1$ и

$$\begin{aligned} W_{(p)}^h(x) &= h^{-2} X_h(z) U_{(p)}^{-2}(z) + h^{-1} X_h(z) U_{(p)}^{-1}(\eta, z) \\ &+ X_h(z) U_{(p)}^0(\eta, z) + h X_h(z) U_{(p)}^1(\eta, z) \end{aligned} \quad (4.6)$$

(ср. выражения (2.1) и (3.21)). При этом $U_{(p)}^{-2}$, $U_{(p)}^{-1}$ и $U_{(p)}^0$ определены формулами (2.2) и (2.10) по собственной вектор-функции $w_{(p)}$ задачи (2.14), (2.17), удовлетворяющей условиям ортогональности и нормировки (2.18), а $U_{(p)}^1$ — решение задачи (2.8) с правыми частями (2.13). Срезка X_h приписана сомножителями при слагаемых в правой части (4.6) для того, чтобы можно было гладко продолжить $W_{(p)}^h$ нулем со стяжки $Q(h)$ на тело Ω . Найдем указанные в (4.3) величины δ_p^h . Согласно формуле (4.1) имеем

$$\begin{aligned} \delta_p^h &= \sup |\langle T^h V_{(p)}^h - t_m^h V_{(p)}^h, v^h \rangle_h| \\ &= \|W_{(p)}^h; \mathcal{H}^h\|^{-1} h^{-2} \lambda_m^{-1} \sup |a(W_{(p)}^h, v^h; Q(h)) - h^2 \lambda_m (W_{(p)}^h, v^h)_{Q(h)}| \\ &= \|W_{(p)}^h; \mathcal{H}^h\|^{-1} h^{-2} \lambda_m^{-1} \sup |(LW_{(p)}^h - h^2 \lambda_m W_{(p)}^h, v^h)_{Q(h)} \\ &\quad + (NW_{(p)}^h, v^h)_{\partial Q(h) \cap \partial \Xi(h)}|. \end{aligned} \quad (4.7)$$

Здесь точная верхняя граница вычисляется по всем пробным функциям $v^h \in \mathcal{H}^h$, для которых $\|v^h; \mathcal{H}^h\| = 1$, причем $\mathbf{1}(v^h; Q(h))_h \leq c$ согласно теореме 3.1. Сначала оценим норму $\|W_{(p)}^h; \mathcal{H}^h\|$, точнее, займемся скалярным произведением $\langle W_{(p)}^h, W_{(q)}^h \rangle_h$. В силу граничных условий (2.17) верны соотношения

$$|\partial_z^j w_{(p)i}(z)| \leq c_{jp} \varrho_0(z)^{(2-j)_+}, \quad |\partial_z^j w_{(p)2+i}(z)| \leq c_{jp} \varrho_0(z)^{(1-j)_+}, \quad (4.8)$$

где $j = 0, 1, 2, \dots$, $i = 1, 2$, и $(n)_+ = \frac{1}{2}(n + |n|)$ — положительная часть числа $n \in \mathbb{R}$. При учете формул (1.3), (2.5) и (2.10) находим, что

$$\begin{aligned} \mathcal{D}(\nabla_x) W_{(p)}^h(x) &= (\mathcal{D}(0, 0, \partial_z) X_h(z)) (h^{-2} U_{(p)}^{-2}(z) + h^{-1} U_{(p)}^{-1}(\eta, z) + \dots) \\ &+ X_h(z) (h^{-2} (\mathcal{D}_z U_{(p)}^{-2}(z) + \mathcal{D}_\eta U_{(p)}^{-1}(\eta, z)) + h^{-1} (\mathcal{D}_z U_{(p)}^{-1}(\eta, z) + \mathcal{D}_\eta U_{(p)}^0(\eta, z)) + \dots). \end{aligned} \quad (4.9)$$

Многоточием обозначены младшие члены, которые имеют такое же строение, как главные, и обрабатываются аналогично. Норма в $L_2(Q(h))^3$ первой группы слагаемых в правой части (4.9) не превосходит $ch^{1/2}$. Дело в том, что носитель матрицы-функции $\mathcal{D}(0, 0, \partial_z)X_h$, имеющей порядок h^{-1} , расположен на малых сегментах $[-1, -1 + 2hl]$ и $[1 - 2hl, 1]$, где благодаря неравенствам (4.8) и определению асимптотических членов выполнены оценки $|U_{(p)}^j(\eta, z)| \leq c\rho_0(z)^{(-j)+} \leq ch^{(-j)+}$. Во второй группе слагаемых имеем

$$\mathcal{D}_z U_{(p)}^{-2} + \mathcal{D}_\eta U_{(p)}^{-1} = 0, \quad \mathcal{D}_z U_{(p)}^{-1} + \mathcal{D}_\eta U_{(p)}^0 = (\mathcal{Y} + \mathcal{D}_\eta \mathcal{X})\mathbf{D}(\partial_z)w_{(p)}$$

в силу формул (2.2) и (2.10), (2.9). Ясно, что $L_2(Q(h))$ -нормы остальных членов не превосходят ch . Кроме того, устранение срезки X_h при второй группе приносит ту же погрешность $O(h^{1/2})$, что и вся первая группа. В итоге приходим к оценке

$$\left| \langle W_{(p)}^h, W_{(q)}^h \rangle_h - \frac{1}{h^2} \int_{\Gamma} (A(\mathcal{Y} + \mathcal{D}_\eta \mathcal{X})\mathbf{D}(\partial_z)w_{(p)}, (\mathcal{Y} + \mathcal{D}_\eta \mathcal{X})\mathbf{D}(\partial_z)w_{(q)})_{\omega_n} dz \right| \leq ch^{1/2}.$$

Вспоминая определение (2.15) матрицы \mathbf{A} и соотношения (2.19), (2.18) для собственных функций $w_{(p)}$ и $w_{(q)}$, находим окончательно, что

$$|(A\mathcal{D}(\nabla_x)W_{(p)}^h, \mathcal{D}(\nabla_x)W_{(q)}^h)_{\Xi(h)} - \lambda_m \delta_{p,q}| \leq ch^{1/2}, \quad C \geq \|W_{(p)}^h; \mathcal{H}^h\| \geq c > 0. \tag{4.10}$$

Теперь рассмотрим последнюю пару скалярных произведений в (4.7). Благодаря построениям, проведенным в п. 2.1 (ср. преобразования (3.23) и (3.24)), справедливы равенства

$$\begin{aligned} LW_{(p)}^h - h^2 \lambda_m W_{(p)}^h &= [L, X_h](h^{-2}U_{(p)}^{-2} + h^{-1}U_{(p)}^{-1} + U_{(p)}^0 + hU_{(p)}^1) \\ &+ X_h(L^1U_{(p)}^1 + L^2U_{(p)}^0 - \lambda_m U_{(p)}^{-2} + h(L^2U_{(p)}^1 - \lambda_m(U_{(p)}^{-1} + hU_{(p)}^0) + h^2U_{(p)}^1)), \\ NW_{(p)}^h &= [N, X_h](h^{-2}U_{(p)}^{-2} + h^{-1}U_{(p)}^{-1} + U_{(p)}^0 + hU_{(p)}^1) + hX_h \underbrace{N^1U_{(p)}^1}_{(4.11)}, \end{aligned}$$

где $[L, X_h]$ и $[N, X_h]$ — коммутаторы дифференциальных операторов со срезающей функцией. Выражения, выделенные снизу фигурными скобками в (4.11), обозначим через f^1 и g^1 соответственно. Согласно асимптотической процедуре из п. 2.1 имеем

$$\int_{\omega} f_i^1(\eta, z) d\eta + \int_{\partial\omega} g_i^1(\eta, z) ds_\eta = 0, \quad i = 1, 2.$$

Следовательно,

$$\begin{aligned} |(X_h f^1, v^h)_{Q(h)} + h(X_h g^1, v^h)_{\partial Q(h) \cap \partial \Xi(h)}| &= |(X_h f^1, v^h - e_1 \bar{v}_1^h - e_2 \bar{v}_2^h)_{Q(h)} \\ &+ h(X_h g^1, v^h - e_1 \bar{v}_1^h - e_2 \bar{v}_2^h)_{\partial Q(h) \cap \partial \Xi(h)}| \leq ch \mathbf{[}v^h; Q(h)\mathbf{]}_h. \end{aligned}$$

Понятно, что

$$h|(X_h L^2 U_{(p)}^1 - \lambda_m(U_{(p)}^{-1} + hU_{(p)}^0) + h^2 U_{(p)}^1), v^h)_{Q(h)}| \leq ch \mathbf{[}v^h; Q(h)\mathbf{]}_h.$$

Слагаемые, содержащие коммутаторы, обрабатываются так же, как и первая группа членов в (4.9), т. е. при учете неравенств (4.8) и расположения носителей производных срезки. Единственное нововведение — формула

$$\|v^h; L_2(\{x \in Q(h) : |z| > 1 - 2hl\})\| \leq ch \mathbf{[}v^h; Q(h)\mathbf{]}_h,$$

где коэффициент h приобретен благодаря весовым множителям $h^2 \varrho_h^{-4}$ при $|\mathbf{u}_i|^2$, $i = 1, 2$, и ϱ_h^{-2} при $|\mathbf{u}_3|^2$ в норме (3.4). Обозначая многоточием сумму асимптотических членов при коммутаторах и принимая во внимание следовое неравенство (3.13), видим, что

$$|([L, X_h](\dots), v^h)_{Q(h)} + ([N, X_h](\dots), v^h)_{\partial Q(h) \cap \partial \Xi(h)}| \leq ch^{1/2} \|v^h; Q(h)\|_h.$$

Итак, вычисления показывают, что величина (4.7) не превосходит $c_m h^{-2} h^{1/2} = c_m h^{-3/2}$, а значит, по лемме 4.1 существует собственное число τ_j^h оператора T^h , удовлетворяющее оценке $|\tau_j^h - h^{-2} \lambda_m^{-1}| \leq c_m h^{-3/2}$. Отсюда следуют, во-первых, неравенство $\tau_j^h \leq c_m h^{-2}$ и, во-вторых, соотношение (1.15) для элемента $\Lambda_j^h = (\tau_j^h)^{-1}$ последовательности (1.9).

Убедимся в том, что при малом h в $(C_m h^{5/2})$ -окрестности точки $h^2 \lambda_m$ имеются не менее \varkappa_m собственных чисел $\Lambda_j^h, \dots, \Lambda_{j+\varkappa_m-1}^h$ задачи (1.4)–(1.6). Тогда будет установлено соотношение (3.7), так как, перебирая первые $m + \varkappa_m - 1$ членов последовательности (1.12), приходим к формуле $j \geq m$, т. е. $\Lambda_m^h \leq \Lambda_j^h \leq h^2 \lambda_m + c_m h^{5/2}$.

Воспользуемся второй частью леммы 4.1, взяв в ней $\delta_*^h = C_m h^{5/2}$. Найдутся такие столбцы коэффициентов $a_{(p)}^h = (a_{(p)j}^h, \dots, a_{(p)j+\varkappa_m-1}^h)^\top$, при которых вектор-функции $V_{(m)}^h, \dots, V_{(m+\varkappa_m-1)}^h$ подчинены неравенству (4.4); здесь $p = m, \dots, m + \varkappa_m - 1$, а \varkappa_m^h — полная кратность спектра оператора T^h на сегменте $[h^2 \lambda_m - C_m h^{5/2}, h^2 \lambda_m + C_m h^{5/2}]$. Поскольку собственные векторы $\mathcal{U}_{(k)}^h$ оператора ортонормированы, выводим из соотношения (4.4) формулу

$$\begin{aligned} (a_{(q)}^h)^\top a_{(p)j}^h - \delta_{p,q} &= \left\langle \sum a_{(p)j}^h \mathcal{U}_{(p)j}^h, \sum a_{(q)l}^h \mathcal{U}_{(q)l}^h \right\rangle_h - \delta_{p,q} \\ &= \left\langle V_{(p)}^h - \sum a_{(p)j}^h \mathcal{U}_{(p)j}^h, V_{(q)}^h \right\rangle_h - \left\langle \sum a_{(p)j}^h \mathcal{U}_{(p)j}^h, V_{(q)}^h - \sum a_{(q)l}^h \mathcal{U}_{(q)l}^h \right\rangle_h \\ &\quad + \|W_{(p)}^h; \mathcal{H}^h\|^{-1} \|W_{(q)}^h; \mathcal{H}^h\|^{-1} \langle W_{(p)}^h, W_{(q)}^h \rangle_h - \delta_{p,q}. \end{aligned} \quad (4.12)$$

Модули первых двух скалярных произведений в правой части (4.12) не превосходят $2\delta^h (\delta_*^h)^{-1} = 2c_m C_m^{-1}$, а третье в силу (4.10) отличается от $\delta_{p,q}$ на величину $O(h^{1/2})$. Значит, при большом C_m и малом h столбцы $a_{(m)}^h, \dots, a_{(m+\varkappa_m-1)}^h \in \mathbb{R}^{\varkappa_m^h}$ «почти ортонормированы», что возможно только в случае $\varkappa_m \leq \varkappa_m^h$. Если случилось, что $\varkappa_m < \varkappa_m^h$, то собственное число $\Lambda_{m+\varkappa_m}^h$ оказывается меньше $h^2 \lambda_m + C_m h^{5/2}$, а значит, согласно результатам из § 3 предел $\lambda_{m+\varkappa_m}^0 = \lim h^{-2} \Lambda_{m+\varkappa_m}^h \leq \lambda_m$ является собственным числом задачи (2.14), (2.17), а вычисленный по формулам (3.9)–(3.11) и (3.15) предел $w_{m+\varkappa_m}^0$ — собственной вектор-функцией, которая удовлетворяет условиям нормировки и ортогональности (2.18) (благодаря сильной сходимости в $L_2(\Upsilon)^4$ и несколько измененным выкладкам (3.17) соотношения (2.18) вытекают из условий (1.10)). Сделанный вывод противоречит определению последовательности (1.12) и формуле (4.5). В итоге получаем, что $\varkappa_m = \varkappa_m^h$ и, более того, $m = j$ при малом h .

Теорема 4.1. Для каждого $m \in \mathbb{N}$ существуют положительные величины h_m и c_m, C_m , при которых в случае $h \in (0, h_m)$ собственные числа Λ_m^h и λ_m задач (1.4)–(1.6) и (2.14), (2.17) связаны неравенством (1.15). Кроме того, если число λ_m имеет кратность \varkappa_m (см. соотношение (4.5)), то найдутся такие ортонормированные столбцы $b_{(q)}^h = (b_{(q)m}^h, \dots, b_{(q)m+\varkappa_m-1}^h)^\top \in \mathbb{R}^{\varkappa_m}$, $q = m, \dots, m + \varkappa_m - 1$,

что собственные вектор-функции $u_{(m)}^h, \dots, u_{(m+\varkappa_m-1)}^h$, подчиненные требованиям (1.10), удовлетворяют оценке

$$\|u_{(q)}^h - b_{(q)m}^h W_{(m)}^h - \dots - b_{(q)m+\varkappa_m-1}^h W_{(m+\varkappa_m-1)}^h; \Xi(h)\|_h \leq C_m h^{1/2}, \quad (4.13)$$

где $q = m, \dots, m + \varkappa_m - 1$, и $W_{(p)}^h$ — асимптотические конструкции (4.6).

ДОКАЗАТЕЛЬСТВО. Осталось вывести формулу (4.13) для собственных вектор-функций. Для этого опять-таки применяется вторая часть леммы 4.1, в которой берем $\delta_*^h = \frac{1}{3}h^{-2} \min\{\lambda_{m-1}^{-1} - \lambda_m^{-1}, \lambda_m^{-1} - \lambda_{m+\varkappa_m}^{-1}\}$. По проверенному ранее соответствующий сегмент $[h^{-2}\lambda_m^{-1} - \delta_*^h, h^{-2}\lambda_{m+1}^{-1} + \delta_*^h]$ при малом h содержит только собственные числа $\tau_m^h, \dots, \tau_{m+\varkappa_m-1}^h$, и лемма 4.1 предоставляет столбцы $a_{(m)}^h, \dots, a_{(m+\varkappa_m-1)}^h \in \mathbb{R}^{\varkappa_m}$. Остается переделать «почти ортогональную» $(\varkappa_m \times \varkappa_m)$ -матрицу $(a_{(m)}^h, \dots, a_{(m+\varkappa_m-1)}^h)$ в ортогональную матрицу $(b_{(m)}^h, \dots, b_{(m+\varkappa_m-1)}^h)$, для чего можно воспользоваться простой алгебраической леммой 7.1.7 в [1] (см. также [20, § 2]). \square

4.3. Вторая серия собственных чисел (среднечастотный диапазон спектра). Объединим последовательности (2.26) и (2.29) в одну последовательность (1.13) и выберем в ней собственное число μ_j с кратностью κ_j , т. е.

$$\mu_{j-1} < \mu_j = \dots = \mu_{j+\kappa_j-1} < \mu_{j+\kappa_j}. \quad (4.14)$$

Для того чтобы применить лемму 4.1, построим приближенные решения абстрактного уравнения (4.2). В соответствии с (2.21) положим $t^h = \mu_j^{-1}$. Кроме того, в случае $\mu_p^\Upsilon = \mu_j$ аналогично (2.22) и (4.6) определим вектор-функцию $V_{(p)}^h = \|W_{(p)}^h; \mathcal{H}^h\|^{-1} W_{(p)}^h$, где

$$W_{(p)}^h(x) = h^{-1} X_h(z) U_{(p)}^{-1}(\eta, z) + X_h(z) U_{(p)}^0(\eta, z), \quad (4.15)$$

а $U_{(p)}^{-1}$ и $U_{(p)}^0$ образованы по формулам (2.23) и (2.10) по собственной вектор-функции $w_{(p)}''$ предельной задачи (2.24), (2.25). Если $\mu_q^\Omega = \mu_j$, то в формуле для $V_{(q)}^h$ возьмем

$$W_{(q)}^h(x) = \mathcal{X}_h(x) v_{(q)}(x), \quad (4.16)$$

где $v_{(q)}$ — собственная вектор-функция предельной задачи (2.27) на теле Ω , а \mathcal{X}_h — гладкая срезающая функция, равная единице на множестве $\{x \in \Omega : r \geq 2\ell h\}$ и нулю в (ℓh) -окрестностях точек P^\pm , а также на стяжке $Q(h)$. Как и ранее, очередной шаг в процедуре оправдания асимптотики — оценка величин δ_p^h и δ_q^h , возникающих в формуле (4.3). Неравенство $\delta_p^h \leq c_j h^{1/2}$ выводится при помощи в значительной степени упрощенных выкладок из п. 4.2, которые здесь не воспроизводятся (подробности см. в [1, § 7.3]). Обработаем выражение (4.16). Заметив, что носители вектор-функций (4.16) и (4.15) не пересекаются, проверим аналоги соотношений (4.10) и (4.7) для выражений (4.16), порожденных двумя собственными вектор-функциями $v_{(q)}$ и $v_{(k)}$ задачи (3.22), подчиненных условиям ортогональности и нормировки (2.30). Поскольку носители производных срезки \mathcal{X}_h расположены в $(2h\ell)$ -окрестностях \mathcal{V}_h^\pm точек P^\pm , находим, что

$$\begin{aligned} & |a(W_{(q)}^h, W_{(k)}^h; \Xi(h)) - a(v_{(q)}, v_{(k)}; \Omega)| \\ & \leq c_\Omega h^{-1} \sum_{\pm} (\|v_{(q)}; H^1(\Omega \cap \mathcal{V}_h^\pm)\| + \|v_{(k)}; H^1(\Omega \cap \mathcal{V}_h^\pm)\|)^2. \end{aligned} \quad (4.17)$$

Заметив, что $v_{(q)}$ и $v_{(k)}$ — гладкие вектор-функции в области Ω , заключаем, что последние нормы имеют порядок $O(h^{3/2})$, т. е. схожие с (4.10) оценки действительно выполнены. При оценивании величины δ_q следует учесть неравенства (3.6) и (3.1) для пробной функции: весовой множитель r_h^{-1} , присутствующий в норме (3.5), позволяет погасить большой множитель h^{-1} , возникающий при дифференцировании срезки \mathcal{X}_h (он же появился в правой части (4.17)). Остальные вычисления следуют стандартной схеме — опустим их и сформулируем результат.

Теорема 4.2. Пусть μ_j — удовлетворяющий соотношению (4.14) член объединения (1.13) последовательностей (2.26) и (2.29) собственных чисел предельных задач (2.24), (2.25) и (2.27). Тогда в последовательности (1.9) собственных чисел исходной задачи (1.4)–(1.5) найдутся члены $\Lambda_{N^h(j)}^h, \dots, \Lambda_{N^h(j)+\kappa_j-1}^h$, подчиненные неравенству (1.16).

4.4. Варианты и обобщения. Не вызывает осложнений переход к неоднородному упругому телу со слабо искривленной стяжкой $Q_h = \{x : \eta := h^{-1}y \in \varkappa_z\omega, |z| < l := 1\}$, где $\{\varkappa_z\}_{z \in \Upsilon'}$ — семейство диффеоморфизмов в \mathbb{R}^2 , гладко зависящих от параметра $z \in \Upsilon' = [-l', l']$. Необходимые изменения в выкладках можно найти, например, в [1, гл. 5, 7]. Аналогичный результат верен и в случае тонкого стержня с периодически изменяющимся сечением (ср. [13; 1, гл. 6]). Доступны и другие геометрические обобщения, в частности тело с несколькими стяжками или выступающими стержнями. Гладкость границы $\partial\omega$ не нужна (достаточна липшицевость), а гладкость границы $\partial\Omega$ имеет принципиальное значение лишь около точек P^\pm .

Условие защемления (1.6) можно убрать и при помощи незначительной модификации схемы изучить свободные колебания упругого сочленения $\Xi(h)$, у которого появляется невозмущаемое шестикратное собственное число $\Lambda = 0$ с собственным подпространством, состоящим из жестких смещений $a + b \times x$ (a и b — постоянные столбцы в \mathbb{R}^3 , а крестом обозначено векторное произведение). При этом предельные задачи (2.11), (2.17) и (2.24), (2.25) для стержня остаются без изменений, а предельная задача (2.27) для тела Ω теряет краевое условие Дирихле на Γ , приобретая тем самым шестикратное собственное число $\lambda = 0$. Новые эффекты возникают, если к телу прикреплены несколько стержней, внешние торцы которых жестко защемлены. При этом у сочленения появляется шесть собственных чисел, асимптотические представления которых не описываются теоремами 4.1 и 4.2. Более того, порядки возмущений нулевого собственного числа существенно зависят от расположения стержней (см. [21, 15] и [22–24]).

Можно построить полные асимптотические ряды для собственных чисел из первой серии (теорема 4.1) и соответствующих собственных вектор-функций. Вблизи точек P^\pm прикрепления стяжки к телу возникает явление трехмерного степенного пограничного слоя, описываемое посредством задачи теории упругости на объединении полупространства и полуцилиндра (см. [22–25] и др.). Вопрос о построении младших асимптотических членов для других серий собственных чисел (теорема 4.2) остается полностью открытым. Весьма вероятно, что асимптотическое моделирование задачи (1.4)–(1.6) при помощи самосопряженных расширений дифференциальных операторов (см., например, [26, 25] и др.) позволяет воспроизводить асимптотику спектра на более широком диапазоне, чем теорема 4.1.

Постоянные в оценках (1.15) и (1.16) точности приближения неизвестным

образом зависят от порядкового номера m собственного числа. Метод прямого и обратного сведений (см. [1, гл. 7, 20] и др.) дает возможность выяснить зависимость упомянутых постоянных от m и других атрибутов предельных спектров (1.12) и (2.26), (2.29). Этот метод требует длинных и сложных вычислений и поэтому в данной статье не применяется.

ЛИТЕРАТУРА

1. Назаров С. А. Асимптотическая теория тонких пластин и стержней. Понижение размерности и интегральные оценки. Новосибирск: Научн. кн., 2002.
2. Лехницкий С. Г. Теория упругости анизотропного тела. М.: Наука, 1977.
3. Ладыженская О. А. Краевые задачи математической физики. М.: Наука, 1973.
4. Nečas J. Les méthodes in théorie des équations elliptiques. Paris; Prague: Masson-Acad., 1967.
5. Кондратьев В. А., Олейник О. А. Краевые задачи для системы теории упругости в неограниченных областях. Неравенство Корна // Успехи мат. наук. 1988. Т. 43, № 5. С. 55–98.
6. Beale J. T. Scattering frequencies of resonators // Commun. Pure Appl. Math. 1973. V. 26, N 4. P. 549–563.
7. Арсеньев А. А. О существовании резонансных полюсов и резонансов при рассеянии в случае краевых условий II и III рода // Журн. вычисл. математики и мат. физики. 1976. Т. 16, № 3. С. 718–724.
8. Гадильшин Р. Р. О собственных значениях «гантели с тонкой ручкой» // Изв. РАН. Сер. мат. 2005. Т. 69, № 2. С. 45–110.
9. Назаров С. А., Слуцкий А. С. Одномерные уравнения деформации тонких слабоискривленных стержней. Асимптотический анализ и обоснование // Изв. РАН. Сер. мат. 2000. Т. 64, № 3. С. 97–131.
10. Бирман М. Ш., Соломяк М. З. Спектральная теория самосопряженных операторов в гильбертовом пространстве. Л.: Изд-во Ленингр. ун-та, 1980.
11. Назаров С. А. Неравенства Корна, асимптотически точные для тонких областей // Вестн. СПбГУ. Сер. 1. 1992. Т. 8, № 2. С. 19–24.
12. Cioranescu D., Oleinik O. A., Tronel G. Korn's inequalities for frame type structures and junctions with sharp estimates for the constants // Asymptotic Anal. 1994. V. 8. P. 1–14.
13. Назаров С. А. Обоснование асимптотической теории тонких стержней. Интегральные и поточечные оценки // Проблемы математического анализа. СПб: изд-во СПбГУ, 1997. Вып. 17. С. 101–152.
14. Назаров С. А., Слуцкий А. С. Неравенство Корна для произвольной системы тонких искривленных стержней // Сиб. мат. журн. 2002. Т. 43, № 6. С. 1319–1331.
15. Назаров С. А. Неравенства Корна для упругих сочленений массивных тел, тонких пластин и стержней // Успехи мат. наук. 2008. Т. 63, № 1. С. 37–110.
16. Кондратьев В. А. Краевые задачи для эллиптических уравнений в областях с коническими или угловыми точками // Тр. Моск. мат. о-ва. 1963. Т. 16. С. 219–292.
17. Мазья В. Г., Пламеневский Б. А. О коэффициентах в асимптотике решений эллиптических краевых задач в области с коническими точками // Math. Nachr. 1977. Bd 76. S. 29–60.
18. Назаров С. А., Пламеневский Б. А. Эллиптические задачи в областях с кусочно гладкой границей. М.: Наука, 1991.
19. Вишик М. И., Люстерник Л. А. Регулярное вырождение и пограничный слой для линейных дифференциальных уравнений с малым параметром // Успехи мат. наук. 1957. Т. 12, № 5. С. 3–122.
20. Назаров С. А. Равномерные оценки остатков в асимптотических разложениях решений задачи о собственных колебаниях пьезоэлектрической пластины // Проблемы математического анализа. Новосибирск: Научн. кн., 2003. Вып. 25. С. 99–188.
21. Nazarov S. A. Korn's inequalities for junctions of spatial bodies and thin rods // Math. Methods Appl. Sci. 1997. V. 20, N 3. P. 219–243.
22. Kozlov V. A., Maz'ya V. G., Movchan A. B. Asymptotic representation of elastic fields in a multi-structure // Asymptotic Anal. 1995. V. 11. P. 343–415.
23. Kozlov V. A., Maz'ya V. G., Movchan A. B. Fields in non-degenerate 1D-3D elastic multi-structures // Quart. J. Mech. Appl. Math. 2001. V. 54. P. 177–212.

24. Kozlov V. A., Maz'ya V. G., Movchan A. B. Asymptotic analysis of fields in multi-structures. Oxford: Clarendon Press, 1999.
25. Назаров С. А. Асимптотический анализ и моделирование сочленения массивного тела с тонкими стержнями // Тр. семинара им. И. Г. Петровского. М.: Изд-во МГУ, 2004. Вып. 24. С. 95–214.
26. Назаров С. А. Соединения сингулярно вырождающихся областей различных предельных размерностей. 1 // Тр. семинара им. И. Г. Петровского. М.: Изд-во МГУ, 1995. Вып. 18. С. 3–78.

Статья поступила 5 февраля 2011 г.

Назаров Сергей Александрович
Институт проблем машиноведения РАН,
Большой пр. В. О., 61, Санкт-Петербург 199178
`srgnazarov@yahoo.co.uk`